

# شبیه سازی و افزایش مقیاس تولید پروتئین تک یاخته در بیوراکتور پیوسته

● سیده زینب میرنظامی، عضو هیأت علمی دانشگاه گیلان

تاریخ دریافت: دیماه ۱۳۷۹ تاریخ پذیرش: بهمن ماه ۱۳۸۰

بازاردارندگی سوپرسترا، معادلات سینتیکی بسیار را پیشنهاد کردند (۳، ۴، ۱۴). اکسیژن محلول نیز می‌تواند سرعت رشد بیومس میکروبی را محدود نماید. اما اگر غلظت اکسیژن محلول از میزان غلظت بصرانی اکسیژن ( $C_{cr}$ ) بیشتر باشد، سرعت رشد سلولی با فاکتورهای دیگر مانند غلظت سوپرسترا ایجاد کنترل و محدود می‌شود. برای تولید مطلوب بیومس شرایط بینهاده را باید فراهم کرد. در بیوراکتورهای تولید بیومس علاوه بر مکانیزم رشد سلولی، نوع همزن، دور همزن، محیط کشت و رفتار رئولوژیک دوفازی سیستم نیز بر روابط انتقال جرم و محاسبه مقادیر ضریب کلی انتقال جرم اکسیژن از فاز گاز به مایع نقش زیادی دارد. با استفاده از روش‌های نیمه تئوری سیالات دوفازی و با توجه به شکل و ابعاد همزن در راکتور، ضریب انتقال جرم اکسیژن، توان و سرعت همزن و سایر پارامترها محاسبه می‌گردد در صنایع تخمیری از این پارامترها همچنین پارامتر  $\frac{P}{V}$  در افزایش مقیاس بیوراکتورها استفاده می‌شود (۱۰).

## مواد و روش‌ها

میکروگانیسم مورد نظر از بین مجموعه میکروگانیسم‌هایی که از خاک مناطق نفت خیز جنوب

جدول شماره ۱- محیط کشت برای رشد میکروگانیسم SCP و تولید

غلظت (g/L)	ترکیب
۲/۲	$Na_2HPO_4$
۱/۴	$KH_2PO_4$
۰/۶	$MgSO_4 \cdot 7H_2O$
۳/۰	$(NH_4)_2SO_4$
۰/۰۵	$NaCl$
۰/۰۲	$CaCl_2 \cdot 2H_2O$
۰/۰۱	$FeSO_4 \cdot 7H_2O$
۴/۰	$COCl_2 \cdot 6H_2O$
۱۲/۱	$MnSO_4 \cdot 4H_2O$
۱/۵۳	$NaMOO_4 \cdot 2H_2O$
۲/۲	$ZnSO_4 \cdot 7H_2O$
۰/۰۵	$H_3BO_3$

## Pajouhesh & Sazandegi, No 53 PP:72-78

Modelling and scaling up for single - cell protein production in continuous bioreactor

By: Sayede Zeinab Mirnezami, Scientific member of Gilan university. Iran.

Interest in searching for new sources of food has increased exponentially during the last 40 years. In this study, modelling of continuous stirred tank bioreactor is carried out from experimental results and then a bioreactor in pilot scale is designed for production of 40 kg S.C.P. per day. For modelling of bioreactor in constant temperature and pressure, balance equation of cell mass, methanol, oxygen and carbon dioxide are developed. After dissolving of equations by fourth order runge, the influence of both kinetic and transport parameters on dissolved oxygen, biomass, and methanol concentration were studied. From comparing of experimental and theoretic results optimum parameters were obtained. For designing bioreactor in pilot scale from optimum parameters, size of bioreactor and other equipments were obtained. Then other parameters from different bases for scaling up were obtained.

Keywords: Modelling, Scaling up, Continuous bioreactor, Single cell protein.

چکیده  
کمبود مواد غذایی خصوصاً پروتئین در دنیا سبب شده است که از سال ۱۹۶۰ استفاده از پروتئین تک یاخته مورد توجه قرار گیرد. در این تحقیق ابتدا شبیه سازی سیستم مدام بیوراکتور همزن دار با استفاده از نتایج تجربی انجام شد و سپس بیوراکتور همزن دار به حجم ۴۰ مترمکعب، برای تولید ۴ کیلوگرم پروتئین تک یاخته در روز طراحی گردید. برای شبیه سازی بیوراکتور در دما و فشار ثابت، مدل ریاضی موازن جرم بیومس، متابولو، اکسیژن و دی اکسید کربن نوشته می‌شود. بعضی از پارامترهای این معادلات براساس شرایط آزمایش‌های انجام شده و نتایج به دست آمده تعیین و محاسبه شده‌اند. بعد از حل معادلات با روش Fourth order runge و به دست آوردن نتایج، اثر پارامترهای مختلف سینتیک و انتقال بر مقادیر غلظت اکسیژن محلول، بیومس و متابولو بررسی شد. با مقایسه مقادیر به دست آمده از مدل و مقادیر تجربی، پارامترهای بهینه تعیین گردید. برای طراحی بیوراکتور در مقیاس تولیدی، با استفاده از پارامترهای بهینه و روابط تئوری، اندازه تجهیزات مختلف بیوراکتور محاسبه شد و سپس با در نظر گرفتن معيارهای مختلف برای افزایش مقیاس بیوراکتور، پارامترهای مختلف به دست آمد که در جداول ارائه شده است. کلمات کلیدی: شبیه سازی، افزایش مقیاس، پروتئین تک یاخته، بیوراکتور پیوسته

## مقدمه

کننده متابول شناسایی شده‌اند. در حال حاضر متابول مهمترین سوپرسترا برای تولید پروتئین تک یاخته محسوب می‌شود و مزایای آن به عنوان منبع کربن و اونرژی شناخته شده است (۱۱).

براساس مطالعات انجام شده درباره مکانیزم رشد سلولی در بیوراکتور نتیجه گرفته شده است که رابطه مونود یک رابطه قابل قبول برای توضیح سینتیک رشد بسیاری از میکروگانیسم‌ها می‌باشد. اما محققین با بررسی مکانیزم رشد میکروگانیسم‌ها در شرایط

نظر به عدم کفايت فرآورده‌های غذایی در دنیا و امکان تهیه پروتئین سلولهای میکروبی با استفاده از رشد توده سلولی در بیوراکتور، تولید پروتئین تک یاخته مورد بررسی قرار گرفته است. محصول دهی بیومس میکروگانیسم‌ها نسبت به گیاهان بیشتر است. برای افزایش محصل دهی و بازدهی پروتئین میکروگانیسم‌ها در سال‌های اخیر باکتری‌های مصرف

جدول شماره ۳- مقدار پارامترهای تغییر یافته سیستم  
مداوم در مرحله دوم ( $\times ۳/۱۵\text{gr/l}$ )

مقدار پارامتر	پارامتر
$۰/۱$	$(\text{h}^{-1})D_R$
$۰/۱$	$(\text{h}^{-1})D_A$
$۰/۰$	$(\text{gL}^{-1})X_R$
$۱۰/۰$	$(\text{gL}^{-1})S_R$
$۷/۳۲ \times ۱۰^{-۳}$	$(\text{gL}^{-1})O_R$
$۱/۳۹ \times ۱۰^{-۳}$	$(\text{gL}^{-1})C_R$

جدول شماره ۲- پارامترهای کشت مداوم در مرحله اول

مقدار پارامتر	پارامتر	مقدار پارامتر	پارامتر
$۰/۹$	$\varepsilon_f$	$۰/۱۷۶$	$(\text{h}^{-1})\mu_{\max}$
$۱/۰ \times ۱۰^{-۳}$	$(\text{m}^3)V_R$	$۱/۰۳۴$	$(\text{gL}^{-1})K_s$
$۸/۳ \times ۱۰^{-۳}$	$(\text{mole/L})N_{oi}$	$۲/۸۳ \times ۱۰^{-۳}$	$(\text{gL}^{-1})K_o$
$۰/۰$	$(\text{mole/L})N_{ci}$	$۰/۰$	$(\text{h}^{-1})\mu_D$
$۳۲$	$(\text{g/mole})M_o$	$۰/۴۵۸$	$(\text{gx/gs})y_{x/s}$
$۴۴$	$(\text{g/mole})M_c$	$۰/۰۲۵$	$(\text{gs/gx-hr})m$
$۸۳۱۴$	$(\text{Nm/mole})R$	$۰/۵۰۰۴$	$(\text{gx/go})y_{x/o}$
$۱۰۱۳۲۵$	$(\text{N/m}^2)P$	$۷/۲۳ \times ۱۰^{-۳}$	$(\text{gL}^{-1})O_L^*$
$۳۰۸$	$(K)T$	$۰/۸۳۸۶$	$(\text{gx/gc})y_{x/c}$
$۰/۰$	$(\text{h}^{-1})D_R$	$۱/۳۹ \times ۱۰^{-۳}$	$(\text{gL}^{-1})C_L^*$
$۰/۰$	$(\text{h}^{-1})D_A$	$۱۲۰/۵$	$(\text{h}^{-1})(K_L a)_o$
$۰/۰$	$(\text{gL}^{-1})X_R$	$۱۲۰/۵$	$(\text{h}^{-1})(K_L a)_c$
$۰/۰$	$(\text{gL}^{-1})S_R$	$۱/۶۷ \times ۱۰^{-۵}$	$(\text{m}^3/\text{hr})V_{gi}$
$۰/۰$	$(\text{gL}^{-1})O_R$	$۱/۶۷ \times ۱۰^{-۵}$	$(\text{m}^3/\text{hr})V_{go}$
$۰/۰$	$(\text{gL}^{-1})C_R$	$۰/۱$	$\varepsilon_g$

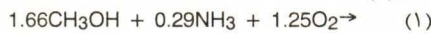
جدول شماره ۴- مقدار پارامترهای شبیه‌سازی  
مستقیم مداوم

مقدار	پارامتر
$۰/۲۳۰$	$(\text{h}^{-1})\mu_{\max}$
$۰/۵۰۳۸$	$(\text{gx/gs})y_{x/s}$
$/۸۷۷۲$	$(\text{gL}^{-1})K_s$
$۰/۰۰۵$	$(\text{h}^{-1})\mu_d$
$۲۴۰$	$(\text{h}^{-1})K_{fa}$
$۰/۰۱$	$(\text{gs/gx-hr})m$

M می‌باشد که مشخصات آن در جدول ۵ آورده شده است.

### مدل فرآیند

معادله استوکیومتری رشد توده سلول میکروارگانیسم در مدت رشد تعادلی به صورت زیر است (۱).



برای مدل سازی سیستم مداوم، فاز گاز و مایع در دو

قسمت جدا مانند شکل ۳ در نظر گرفته می‌شود. حجم

گاز با محاسبه مقدار ماندگی (Hold up) (Hold) هوا در راکتور

به دست می‌آید. برای مدل سازی بیوراکتور همزن دار به

صورت مداوم، در دما و فشار ثابت معادلات موازنه جرم

اجزاء در دو فاز مایع و گاز نوشته می‌شود. بعضی از

پارامترهای این معادلات براساس شرایط آزمایش‌های

انجام شده و نتایج به دست آمده تعیین و محاسبه

شده‌اند. این معادلات، معادلات دیفرانسیل درجه اول

بوده که با روش Fourth order runge kutta حل

می‌شوند. از حل دستگاه معادلات موازنه جرم اجزاء و با

توجه به ضریب انتقال جرم و سطح تماس بین دو فاز

مایع و گاز، روند تغییرات اجزای سیستم بر حسب زمان

به دست می‌آید.

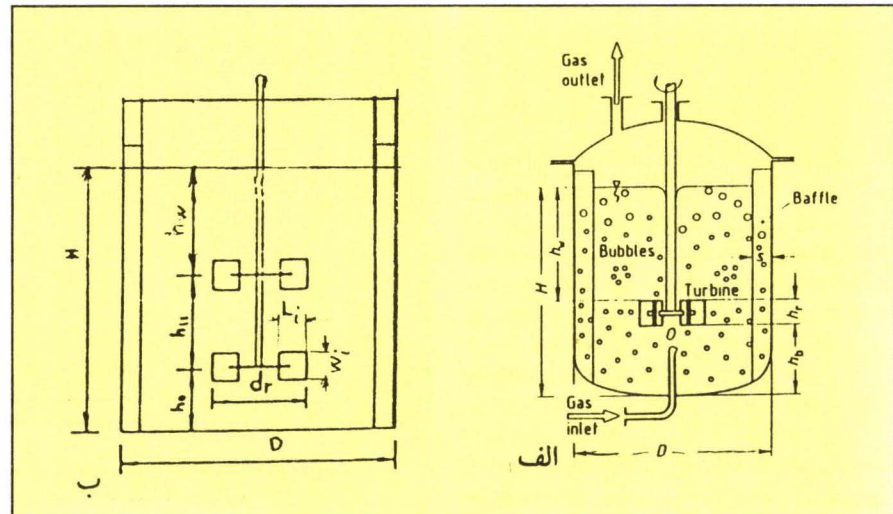
مدل ریاضی فرآیند در فاز مایع توسط معادلات زیر

عنوان می‌گردد (۱۲):

$$\frac{dX}{dt} = DR_X R - DAX + (\mu G - \mu D)X \quad (۲)$$

$$\frac{dS}{dt} = DR_S R - DAS - (\frac{\mu G}{Y_{X/S}} + m)X \quad (۳)$$

$$\frac{dO_L}{dt} = DRO_R - DAO_L + (KLa)_o(O_L^* - O_L) \frac{\mu G X}{Y_{X/O}} \quad (۴)$$



شکل شماره ۱- راکتور همزن دار (الف: با یک همزن - ب: با دو همزن)

نمونه‌برداری شد. در هر بار نمونه‌برداری جذب نوری در

طول موج ۶۲۰ nm اندازه‌گیری شد. بعد از افزایش

دانسیته نوری نمونه تا مقدار  $1/۲$  سیستم مداوم باشد

رقیق‌سازی  $1/10^{-۱} \text{ h}^{-۱}$  را اندازای شد. در این شرایط با

حجم یک لیتری بیوراکتور میزان ورودی سوبسترا برابر

با  $۱/۰$  لیتر در ساعت بود که با شیر تنظیم کننده کنترل

می‌شود. در این حالت از بیوراکتور هر  $4$  ساعت یک بار

نمونه‌برداری و جذب نوری اندازه گیری شد.

بیوراکتور مورد استفاده در سیستم مداوم بیوراکتور

Multigent New brunswick مدل ۲ لیتری شیشه‌ای

کشور جدا شده‌اند، پس از بررسی میزان رشد انتخاب

شد. برای کشت باکتری به صورت سیستم مداوم، ابتدا

یک لوب از باکتری به صورت  $۵۰$  میلی‌لیتر محیط کشت

جدول ۱- تلقیح شد. باکتری‌ها در دمای  $۳۵$  درجه

سانتیگراد بر روی مخلوط کننده به مدت  $۲۰$  ساعت رشد

کرده و سپس از آن در شرایط استریل به بیوراکتور منتقل

شد. بیوراکتور که حاوی  $۹۵$  ml محیط کشت و متابول با

غلظت  $10$  g/L بود بعد از تلقیح در شرایط  $۳۵$  درجه

سانتیگراد و pH=۷  $300$  rpm دور همزن  $4$  ساعت یک بار

شروع به کار نموده و سرعت  $77\text{Vm}$

$$\frac{dC_L}{dt} = D_{RCR} - D_{ACL} - (K_{La})_c(C_L - C_L^*) + \frac{\mu G \cdot X}{Y_{X/C}} \quad (5)$$

معادلات اجزاء در فارگاز به صورت زیر است:

$$\frac{dN_o}{dt} = \frac{1}{\varepsilon g \cdot V_R} (V_{gi} N_{oi} - V_{go} N_{o}) - (K_{La})_o (O_L^* - O_L) \quad (6)$$

$$x \frac{1 - \varepsilon_g}{\varepsilon_g \cdot M_o} \quad (7)$$

$$\frac{dN_c}{dt} = \frac{1}{\varepsilon g \cdot V_R} (V_{gi} N_{oi} - V_{go} N_c) + (K_{La})_c (C_L - C_L^*) \quad (8)$$

$$x \frac{1 - \varepsilon_g}{\varepsilon_g \cdot M_c} \quad (9)$$

در معادلات فوق  $D_{RCR}$  شدت رقیق سازی ورودی و خروجی است که به صورت  $\frac{F_A}{V}$  و  $F_R = \frac{F_B}{V}$  شدت جریان محیط کشت تعريف می‌شوند.  $F_A$  و  $F_R$  شدت جریان در اکثر ورودی و خروجی و  $V$  حجم بیوراکتور می‌باشد. در اکثر فرآیندهای تخمیری شدت جریان‌های ورودی و خروجی برابر است و در نتیجه  $D_{RCR} = D_A = D$  است. (در فرآیند تولید S.C.P.) فرض می‌شود که شدت جریان ورودی و خروجی برابر است. بنابراین در معادلات  $D_{RCR} = D_A = D$  است.

برای مدل سازی بیوراکتور مخلوط شده با همزن در سیستم غیرمداوم، جملات مربوط به ورودی و خروجی معادلات موازنه جرم در فاز مایع حذف می‌شود. اما معادلات در فاز گاز مانند سیستم مداوم می‌باشد.

در شرایطی که کشت غیر مداوم در بالان و روی دستگاه مخلوط کننده (Shaker) انجام شود، اکسیژن مورد نیاز از هوا وارد محیط کشت شده در نتیجه معادلات موازنه جرم اجزاء در فاز گاز حذف خواهد شد.

برای تعیین سرعت رشد ویژه رشد ویژه از معادله مونود ساده استفاده می‌شود: (۵)

$$\mu G = \frac{\mu_{max} \cdot S}{K_s + S} \quad (10)$$

پارامترهای  $K_s$  و  $\mu_{max}$  از مرتب کردن معادله فوق

$$\frac{1}{\mu G} = \frac{1}{S \cdot \mu_{max}} + \frac{1}{\mu_{max}} \quad (11)$$

به صورت  $\frac{1}{\mu G}$  و رسماً  $\frac{1}{S \cdot \mu_{max}}$  نسبت به  $S$  بددست می‌ایند.

در فرآیندهای هوایی در شرایطی که تغییرات غلظت بیومس نسبت به تغییرات اکسیژن محلول قابل ملاحظه باشد، سرعت رشد ویژه علاوه بر غلظت سوبسترا تابع غلظت اکسیژن خواهد بود. در این هنگام از معادله سینتیکی چند سوبسترا محدود کننده در معادلات استفاده می‌شود: (۱۲)

$$\mu G = \frac{\mu_{max} \cdot S}{K_s + S \cdot \frac{O_L}{K_O + O_L}} \quad (13)$$

$K_O$  ثابت اشباع اکسیژن است که مقدار آن برابر است با غلظت اکسیژن محلول در حالتی که سرعت رشد ویژه برابر با نصف سرعت  $\mu_{max}$  می‌باشد.

برای بررسی اثر بازدارنده متوالی از معادله مونود توسعه یافته به صورت زیر استفاده شده است (۸):

$$\mu G = \frac{\mu_{max} (1 - S/S^*)^n \cdot S}{S + K_s (1 - S/S^*)^m} \quad (14)$$

که  $S^*$  غلظت سوبسترا بازدارنده،  $S$  غلظت بحرانی سوبسترا بازدارنده که بالاتر از آن واکنش متوقف می‌شود،  $n$  و  $m$  اعداد ثابت هستند. مقادیر  $S^*$ ,  $n$  و  $m$  از نتایج تجربی بدست می‌آیند.

پارامترهای مربوط به بازدهی اجزاء نسبت به یکدیگر از معادله استوکیومتری واکنش تولید S.C.P. به دست می‌آید.

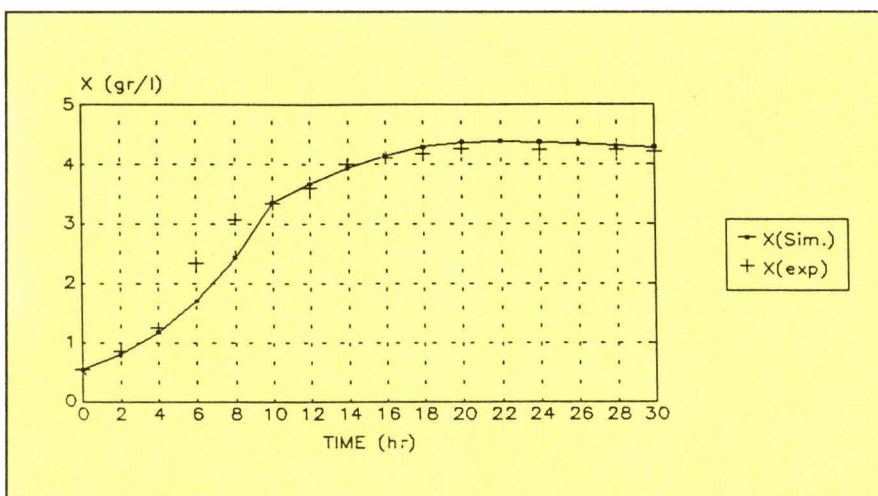
جدول شماره ۵- مشخصات و اندازه تجهیزات بیوراکتور آزمایشگاهی						
N	$S_0$ (m)	$W_i$ (m)	$d_r$ (m)	$H_L$ (m)	D (m)	$V_L$ (L)
۱	۰/۰۱۳	۰/۰۹	۰/۰۵	۰/۱۱	۰/۱۱	۱

جدول شماره ۶- شرایط عملیات در بیوراکتور آزمایشگاهی									
$\frac{n}{d_r}$ (rpm/m)	Re	$nd_r$ (rpm-m)	$\frac{P}{V}$ (N/m <sup>2</sup> -sec)	P (N-m/sec)	n(rpm)	$d_r$ (m)	D(m)	$V_L$ (L)	
$6 \times 10^{-3}$	$1/7 \times 10^3$	۱۵	۲۴۱	۰/۲۱۷	۲۰۰	۰/۰۵	۰/۱۱	۱	

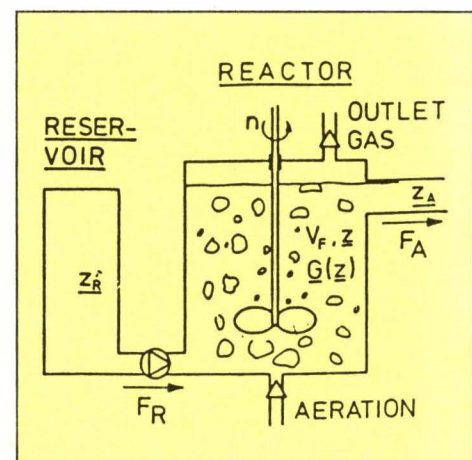
جدول شماره ۷- نتایج به دست آمده از محاسبات تعیین اندازه تجهیزات بیوراکتور برای تولید ۴۰ کیلوگرم بوسس در روز										
N	$L_i$ (m)	$W_i$ (m)	$S_0$ (m)	H (m)	$h_b$ (m)	$h_w$ (m)	$h_i$ (m)	$d_r$ (m)	D (m)	$V_L$ ( $m^3$ )
۲	۰/۱۲۷	۰/۱۰	۰/۱۲	۲/۱	۰/۸۲	۰/۶۴	۰/۶۴	۰/۵۱	۱/۵۹	۴/۲

جدول شماره ۸- نسبت متغیرهای عملیات بیوراکتور تولیدی به بیوراکتور آزمایشگاهی در افزایش مقیاس بیوراکتور						
$\frac{(\frac{n}{d_r})_p}{(\frac{n}{d_r})_m}$	$\frac{(Re)_p}{(Re)_m}$	$\frac{(nd_r)_p}{(nd_r)_m}$	$\frac{n_d}{n_m}$	$\frac{(\frac{P}{V})_p}{(\frac{P}{V})_m}$	$\frac{(P)_p}{(P)_m}$	مبنا افزایش مقیاس
۰/۰۳۴	۳۶/۲	۳/۵۵	۰/۳۵	۱	$4/6 \times 10^{-3}$	$P/V$ مساوی
۰/۰۹۸	۱۰۴	۱۰/۲	۱	۲۲/۶	$1/1 \times 10^5$	n مساوی
$9/6 \times 10^{-3}$	۱۰/۲	۱	$0/098$	$0/022$	۱۰۴	سرعت نوک پره مساوی
$9/6 \times 10^{-4}$	۱	۰/۱	۰/۰۱	$2/1 \times 10^{-5}$	۰/۱	عدد رینولدز مساوی
۱	۱۰۶۱/۲	۱۰۴	۱۰/۲	$2/5 \times 10^4$	$1/17 \times 10^8$	نسبت تنش بر جریان مساوی

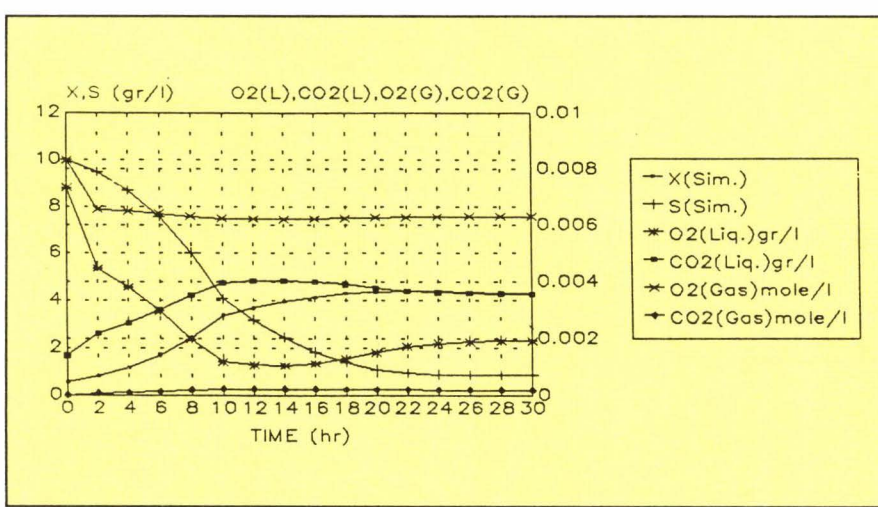
جدول شماره ۹- اثر انتخاب مبنای معین بر شدت جریان هوا در افزایش مقیاس بیوراکتور		
$\frac{(V_g)_p}{(V_g)_m}$	$\frac{(u_{gs})_p}{(u_{gs})_m}$	مبنای انتخابی
۵۰۹	۲/۴۴	$\frac{V_g}{nd_r}$ ثابت
۲۰۹	۱۰	$u_{gs}$
۳۰۲۰	۱۴/۵	$VV_m$ ثابت



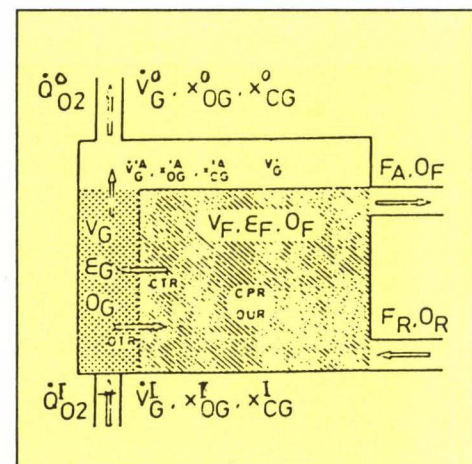
شکل شماره ۴- مقایسه بین غلظت بیومس و غلظت، بیومس حاصل از مدل با مقادیر پارامترهای پارامترهای بهینه شبیه‌سازی



شکل شماره ۲- مدل ریاضی سیستم مداوم راکتور همزن دار



شکل شماره ۵- غلظت‌های بیومس، متانول، اکسیژن و دی‌اکسید کربن در فاز مایع و غلظت‌های اکسیژن، دی‌اکسید کربن در فاز گاز با مقادیر پارامترهای بهینه شبیه‌سازی



شکل شماره ۳- حجم راکتور تقسیم شده به فاز گاز و فاز مایع

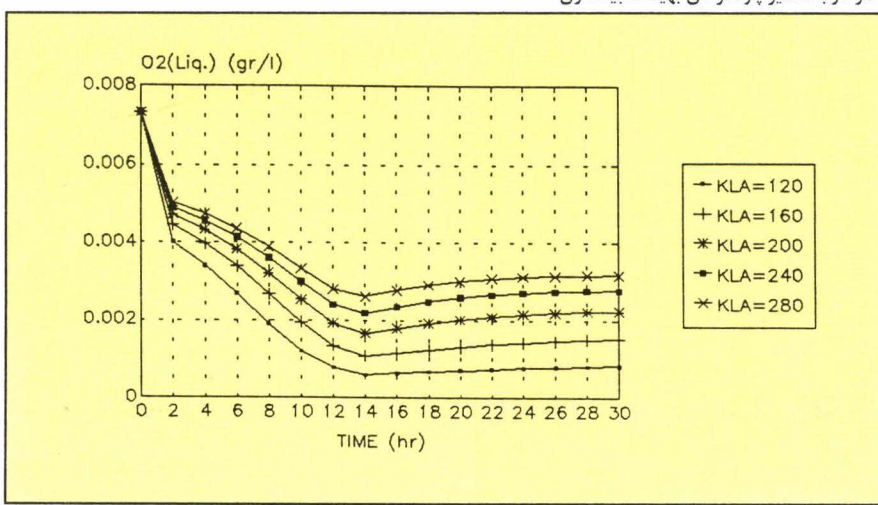
پارامتر ضریب نگهداری از نتایج تجربی کشت مداوم و با استفاده از معادله زیر به داشت می‌آید.

$$\frac{1}{Y_{X/S(m)}} = \frac{1}{Y_{X/S(G)}} + \frac{m}{\mu G}$$

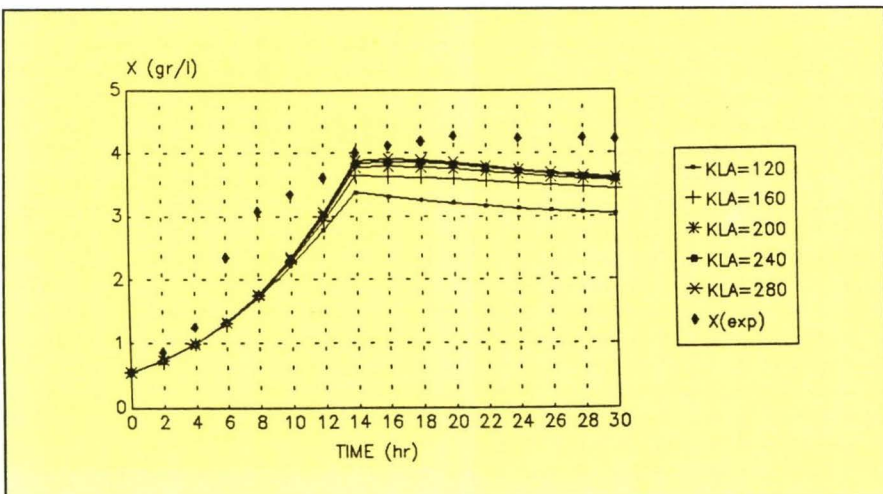
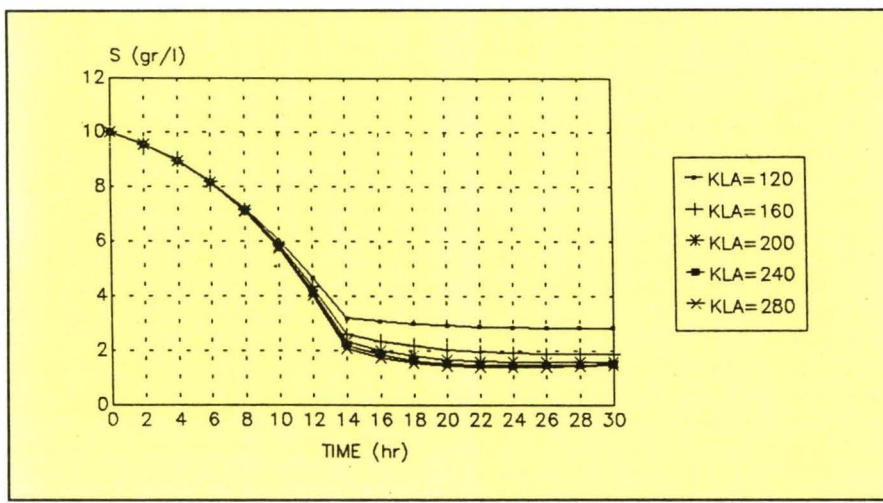
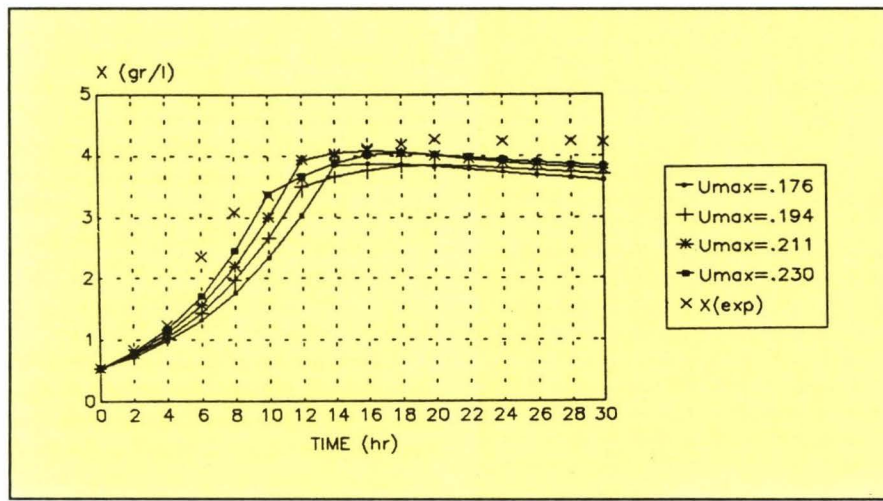
از رسم نمودار  $\frac{1}{Y_{X/S(B)}} = \frac{1}{Y_{X/S(G)}} + \frac{m}{\mu G}$  نسبت به  $D$  (در شرایط پایدار سیستم مداوم) ضریب نگهداری به دست می‌آید. در این راسته  $\Delta X$  است که  $\Delta S_G = \frac{\partial Y_{X/S(m)}}{\partial Y_{X/S(G)}} = \frac{\partial Y_{X/S(m)}}{\partial Y_{X/S(G)} + \partial Y_{X/S(m)}}$  واقعی مصرف شده و سوبستراتی مصرف شده برای نگهداری است. بازدهی رشد  $G = \frac{\partial Y_{X/S(m)}}{\partial Y_{X/S(G)}}$  مقادار ماکریزم می‌باشد. بازدهی است وقتی که  $G = \mu$  به سمت بی‌نهایت می‌گردد و  $m = 0$  می‌باشد.

#### افزایش مقیاس بیوراکتور

یکی از روش‌های افزایش مقیاس بیوراکتورها روش آنالیز ابعادی است که در آن گروه‌های بدون بعد پارامترها ثابت نگه داشته می‌شوند. ثابت نگه داشتن گروه‌های بدون بعد به این معنی است که مکانیزم‌های مهم در فرآیند افزایش مقیاس تغییر نمی‌کند. این روش گرچه برای سیستم‌های ساده و یکنواخت روش مفیدی است، اما در شرایطی که مسائل انتقال حرارت و جرم جدی بوده و همچنین برای سیستم چند فازی مشکلاتی



شکل شماره ۶- اثر  $K_{la}$  بر غلظت اکسیژن محلول در بیوراکتور

شکل شماره ۷-اثر  $K_{La}$  بر غلظت بیومسشکل شماره ۸-اثر  $K_{La}$  در غلظت متانولشکل شماره ۹-اثر  $U_{max}$  بر غلظت بیومس

وجود دارد (۷، ۱۰، ۱۳).

شباهت هندسی ذرات پراکنده در سیستم چند فازی مهم است. معمولاً اندازه قطرات و کربیتالها و جباب‌های هوا نباید به تناسب مقیاس رشد کند، بلکه باید در تغییر مقیاس ثابت نماند. اندازه ذرات فار پراکنده به خصوصیات جریان و خصوصیات سطحی بستگی دارد. اگر خصوصیات سطحی در افزایش مقیاس تغییر نکند، خصوصیات جریان اندازه ذرات را تعیین می‌کند. میزان جریان گردابی به انحرافی ورویدی بر واحد حجم ( $\frac{P}{V}$ ) بستگی دارد. بنابراین اگر مقدار ( $\frac{P}{V}$ ) در افزایش مقیاس بیوراکتور ثابت باشد، حالت جریان تغییر نخواهد کرد. به این دلیل مقدار ( $\frac{P}{V}$ ) را وجود این که یک گروه بدون بعد نیست، به عنوان پارامتر در آنالیز ابعادی به کار می‌برند. اما اگر عدد رینولدز ( $Re$ ) ثابت نگهداشت شود اندازه گرداب مناسب با مقیاس تغییر می‌کند.

افزایش تنفس می‌تواند اثر منفی (تخرب میکروارگانیسم‌ها) و همچنین اثر مثبت (کاهش اندازه تووده میکروارگانیسم‌ها) داشته باشد. در جریان آرام تنش با  $n$  در جریان درهم تنفس با  $(ndr)^2$  مناسب است. بنابراین ثابت بودن مقدار  $ndr$  می‌تواند به عنوان مبنای افزایش مقیاس انتخاب شود. علاوه بر این نسبت تنفس همزن بر جریان همزن ( $\frac{ndr^3}{ndr^2} = \frac{P}{dr}$ ) نیز می‌تواند در شرایط رشد مایسیلا به عنوان مبنای در نظر گرفته شود. در صورت انتخاب یک مبنای مناسب، متغیرهای دیگر فرآیند از روابط تئوری محاسبه می‌شوند. امروزه در صنایع تضمیری از معیارهای ( $P$ ) ثابت، ثابت ( $K_{La}$ ) ثابت، نگهداشت افزایش مقیاس بیوراکتور استفاده می‌شود (۷، ۱۰).

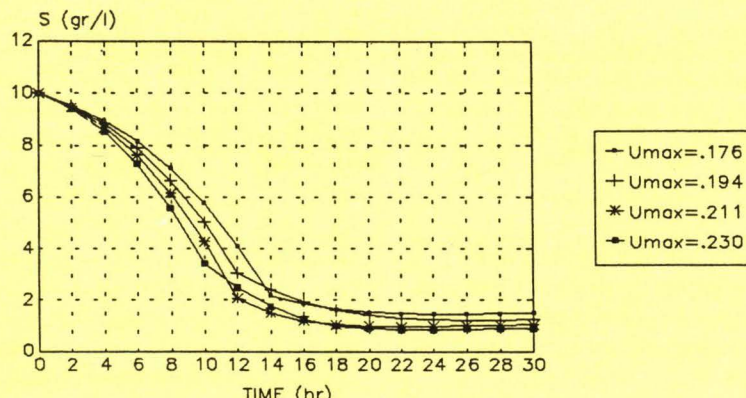
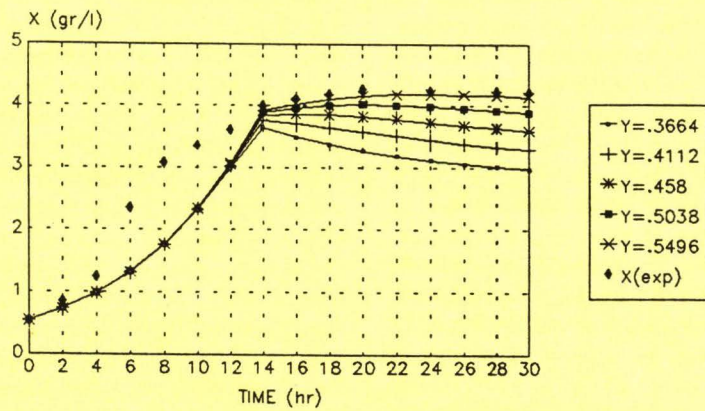
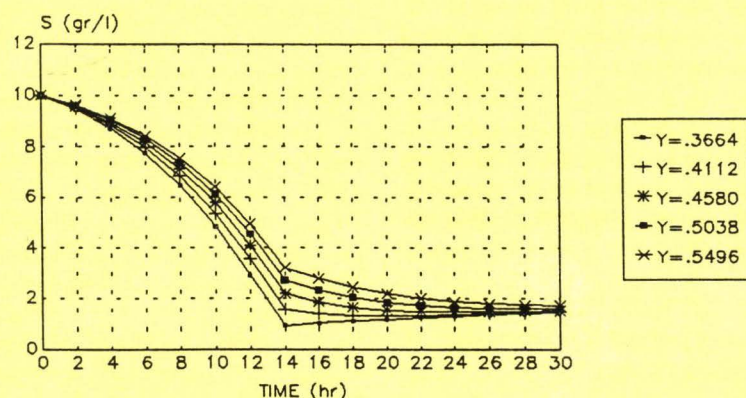
درباره میزان شدت هواده، یکی از معیارها ثابت بودن مقدار نسبت حجم هوا بر حجم هوا بر حجم بیوراکتور بر دقیقه ( $VVm$ ) است. علاوه بر این ثابت بودن مقدار نسبت شدت جریان هوا بر ظرفیت پمپ  $\frac{Vg}{ndr^3}$  و ثابت بودن سرعت ظاهری گاز  $Ugs$  به عنوان معیار در نظر گرفته می‌شوند.

در این تحقیق بعد از حل معادلات و بدست آوردن پارامترهای بهینه سیستم مداوم، بیوراکتور همزن دار در مقیاس تولیدی برای تولید ۴۰ کیلوگرم بیومس در روز طراحی گردید. در این مطالعه، ابتدا حجم بیوراکتور، اندازه تجهیزات مختلف مورد استفاده در آن (همزن، بافل و...) بنابر نتایج تجربی بدست آمده در بیوراکتور آزمایشگاهی با حجم کارکرد یک لیتر تعیین می‌شود و سپس براساس انتخاب یک مبنای خاص برای افزایش مقیاس، سایر متغیرهای عملیات ( $Re$ ,  $d_r$ ,  $n$ ,  $\frac{P}{V}$  و...) محاسبه می‌شود.

## نتایج

در شکل ۴- غلظت بیومس تجربی با غلظت بهدست آمده از مدل با مقادیر پارامترهای بهینه شبیه سازی جدول ۴- مقایسه شده است. همانگونه که در غلظت بیومس بهدست آمده از مدل نزدیک بوده و مقدار نهایی آنها با نقویت خوبی یکسان است.

تغییرات غلظت بیومس، متانول، اکسیژن و دی اکسیدکربن بهدست آمده از مدل در شکل ۵- مشاهده می‌شود. با توجه به نمودار غلظت اکسیژن محلول تازمان ۲ ساعت به علت رشد سلولی، سریعاً

شکل شماره ۱۰- اثر  $\mu_{max}$  بر غلظت متانولشکل شماره ۱۱- اثر  $\mu_{Xis}$  بر غلظت بیومسشکل شماره ۱۲- اثر  $\mu_{Xis}$  بر غلظت متانول

کاهش یافته و سپس به آرامی کم شده و بعد از ۱۴ ساعت به میزان حداقل می‌رسد. غلظت بیومس نیز تا  $t=2hr$  سریعاً افزایش یافته و سپس با سرعت رشد ویژه ثابت زیاد شده و بعد از ۱۴ ساعت به میزان حداکثر می‌رسد. غلظت دی‌اکسید کربن در فاز گاز ناچیز می‌باشد. غلظت اکسیژن در فاز گاز نسبت به زمان تا زمان ۲ ساعت سریعاً کاهش یافته و پس از آن تقریباً ثابت است. به طور کلی می‌توان نتیجه گرفت که بعد از ۱۴ ساعت، تغییرات غلظت ناچیز بوده و در زمان ۲۰ ساعت تغییرات غلظت متوقف شده و غلظت‌های خروجی از بیوکتور نسبت به زمان ثابت باقی می‌ماند.

در شکل‌های ۶-۸-۱۰ پارامتر  $(KLa)_0$  بر روی غلظت‌های اکسیژن محلول، بیومس و متانول مورد بررسی قرار گرفته است. همان‌گونه که مشاهده شود، افزایش مقادیر  $(KLa)_0$  موجب افزایش غلظت اکسیژن محلول شده که در نتیجه غلظت بیومس نیز در سیستم افزایش یافته است. از نمودارهای ۷ و ۸ می‌توان نتیجه گرفت که با افزایش  $(KLa)_0$ ، غلظت بیومس افزایش و غلظت متانول کاهش می‌یابد. اما در  $(KLa)_0$  بیشتر از  $240\text{ h}^{-1}$  تغییرات قابل ملاحظه‌ای در غلظت‌های بیومس و متانول مشاهده نمی‌شود. بنابراین مقادیر بهینه  $(KLa)_0$  در نظر گرفته می‌شود. در این مقادیر غلظت محلول بین ۲۰ الی ۳۰٪ غلظت اشبع اکسیژن است.

اثر  $\mu_{max}$  بر غلظت‌های بیومس و متانول در شکل‌های ۹-۱۰ مشاهده می‌شود با افزایش  $\mu_{max}$  غلظت متانول کاهش و غلظت بیومس افزایش می‌یابد، اما در غلظت نهایی متانول و بیومس تأثیر قابل ملاحظه‌ای مشاهده نمی‌شود.

اثر بازدهی  $(Y/Xis)$  بر غلظت‌های بیومس و متانول در شکل‌های ۱۱ و ۱۲ مشاهده می‌شود. افزایش بازدهی سبب افزایش غلظت بیومس و کاهش غلظت متانول می‌شود. افزایش بازدهی بر غلظت نهایی متانول تأثیر چندانی نداشته اما بر غلظت نهایی بیومس اثر قابل توجه‌ای دارد.

در جدول ۷- اندازه بیوکتور و تجهیزات مختلف آن (همزن، بافل و...) که بنابر شرایط آزمایشگاهی و بیوکتور مورد استفاده محاسبه شده‌اند، برای تولید ۴۰ کیلوگرم بیومس در روز دیده می‌شود.

در جدول ۸- نسبت متغیرهای عملیات بیوکتور تولیدی به بیوکتور آزمایشگاهی بر اساس انتخاب معیارهای مختلف در افزایش مقیاس آورده شده است. همان‌گونه که در جدول مشاهده می‌شود، یکی از معیارها مساوی بودن عدد رینولدز ( $Re$ ) است. مساوی بودن عدد  $Re$  برای دو سیستم سبب می‌شود که مقادیر  $\frac{P}{V}$  شدیداً کاهش یابد و این امر اثر نامطلوب بر رفتار بیوکتور در مقیاس تولیدی خواهد داشت. برای تولید پرتوئین تک یاخته برای آن که غلظت اکسیژن محلول در بیوکتور در حد مطلوب (۲۰ الی ۳۰٪ غلظت اشبع) باشد، مناسب‌ترین معیار مساوی بودن مقادیر  $\frac{P}{V}$  دو سیستم مدل و تولیدی است.

در جدول ۹- اثر انتخاب چند مبنای بر شدت جریان هوا مشاهده می‌شود. در صنایع تخمیری اغلب از نسبت  $VVm$  ثابت برای تعیین شدت جریان هوا در مقیاس تولیدی استفاده می‌شود.

monophosphate cycle; Biotechnology and bioengineering; XX: 421-442.

12- Scragg A, H; 1991. bioreactors in Biotechnology.

13- Stanbury P.F.; 1985. Whitaker A.I. Principles of fermentation technology.

14- Tseng M.C. and Wayman M.: Can. J. 1975. Microbiol. 21: 994.

15- Wang Daniel I.C. 2 + al. 1979. Fermentation and enzyme technology.

16- Webb J.L. 1963. Enzyme and metabolic inhibitors; Vol. 1: Academic press, 1963.

n دوره همزن (rpm)  
ugs سرعت ظاهری گاز (m/s)

### پاورقی

1- مکانیک خطوط جریان سیال، چگونگی فرآیند تشکیل و پراکنندگی حباب گاز در بیوراکتور و چگونگی انتقال انرژی از همزن به سیال

### منابع مورد استفاده

1- Agrawal pramod and Lim heenry. C. 1984. The growth dynamics of a methanol - utilizing bacterium L3 in a batch bioreactor. Biotechnology and bioengineering; XXVT: 1352-1363.

2- Anton Moser. 1985. Kinetics of batch fermentations In: Rehm. H.J. U. Reed G. Biotechnology, Vol. 2 VCH.

3- Andrews J.F., 1968. Biotechnology and Bioengineering; 10: 707.

4- Aiba S. 1968. Biotechnology and bioengineering; 10: 845.

5- Bailey James E., Ollis David. F. 1986. Biochemical engineering fundamental.

6- Chen Bill J, Henry C. Lim\* 1976. A model for bacterial growth on methanol; Biotechnology amd bioengineering; XVIII: 1629:1633.

7- Heinz Brauer. 1985. Stirred vessel Reactors In: Rehm. H.J., U. Reed G. Biotechnology, Vol.2 VCH.

8- Han Keehyun and Leuenspiel octave; Extended monod kinetics for substrate, product, and cell inhibition; Biotechnology and bioengineering; 32: 430-437.

9- Lee. H.Y, Erickson L.E. and yang S.S. 1984. Estimation of true growth yield and maintenance parameters for methanol Utilizing organism; J. Ferment. Technology. 62: 4: 6341-351.

10- Oesterhuis N.M.G. 1985. Modeling and scaling up of bioreactors In: Rehm. H.J., U. Reed G: Biotechnology Vol.2 VCH. 1985.

11- Papoutsakis elec. 1978. Role of formaldehyde in the utilization of cl compounds via the ribulose

### علائم

X	غلظت بیومس در بیوراکتور ( $g\text{L}^{-1}$ )
XR	غلظت بیومس در محیط کشت ورودی ( $g\text{L}^{-1}$ )
S	غلظت سوبسترا در بیوراکتور ( $g\text{L}^{-1}$ )
SR	غلظت سوبسترا در محیط کشت ورودی ( $g\text{L}^{-1}$ )
DR	شدت رقیق سازی ورودی ( $\text{h}^{-1}$ )
DA	شدت رقیق سازی خروجی ( $\text{h}^{-1}$ )
$\mu G$	سرعت رشد ویژه ( $\text{h}^{-1}$ )
$\mu D$	سرعت مرگ ویژه ( $\text{h}^{-1}$ )
	ضریب بازدهی بیومس (گرم وزن خشک تولید شده بر گرم وزن سلول خشک تولید شده بر گرم اکسیژن مصرف شده) ( $\text{gx/gs}$ )
$Y_{x/s}$	ضریب نگهداری (maintenance) گرم سوبسترانی مصرف شده بر گرم وزن خشک سلول بر ساعت ( $\text{gs/gx-h}$ )
$Y_{x/o}$	ضریب انتقال جرم در سطح فصل مشترک دوفاز ( $\text{K}_{La}$ ) ( $\text{h}^{-1}$ )
( $K_{La})_o$	ضریب انتقال جرم اکسیژن ( $\text{h}^{-1}$ )
( $K_{La})_c$	ضریب انتقال جرم دی اکسید کربن ( $\text{h}^{-1}$ )
$O^*_L$	غلظت اشباع اکسیژن ( $\text{g}\text{L}^{-1}$ )
GL	غلظت دی اکسید کربن محلول ( $\text{g}\text{L}^{-1}$ )
$O^*_L$	غلظت دی اکسید کربن در فاز مایع در تعادل با غلظت در فاز گاز ( $\text{g}\text{L}^{-1}$ )
	گرم وزن سلول خشک تولید شده بر گرم دی اکسید کربن تولید شده ( $\text{gx/gc}$ )
$Y_{x/c}$	غلظت دی اکسید کربن در محیط کشت ورودی ( $\text{g}\text{L}^{-1}$ )
CR	ماندگی گاز در بیوراکتور
$\varepsilon g$	حجم بیوراکتور ( $\text{m}^3$ )
VR	شدت جریان ورودی هوا ( $\text{m}^3/\text{hr}$ )
$V_{gi}$	شدت جریان خروجی هوا ( $\text{m}^3/\text{hr}$ )
$V_{go}$	غلظت اکسیژن در هوای ورودی/L
Noi	غلظت اکسیژن در بیوراکتور/L
No	غلظت اکسیژن در بیوراکتور/L
Nci	غلظت دی اکسید کربن در هوای ورودی/L
Nc	غلظت دی اکسید کربن در بیوراکتور/L
Mo	جرم مولکولی اکسیژن ( $\text{g}/\text{mole}$ )
Mc	جرم مولکولی دی اکسید کربن ( $\text{g}/\text{mole}$ )
$\mu_{max}$	سرعت رشد ویژه ماکریم ( $\text{h}^{-1}$ )
Ks	ثابت مونود ( $\text{gL}^{-1}$ )
Ko	ثابت اشباع اکسیژن ( $\text{gL}^{-1}$ )
P	انرژی انتقال یافته از همزن به سیال ( $\text{N}\cdot\text{m/sec}$ )
$\frac{P}{V}$	انرژی ورودی بر حجم بیوراکتور ( $\text{N}/\text{m}^2\cdot\text{sec}$ )
	حجم هوا بر حجم بیوراکتور بر دقیقه ( $\text{m}^3/\text{m}^3\cdot\text{min}$ )
VVm	قطر بیوراکتور (m)
D	قطر بیوراکتور (m)
$d_r$	قطر پره همزن (m)
Wi	عرض پره همزن (m)
$S_o$	عرض بافل (m)
H_L	ارتفاع مایع در بیوراکتور (m)
$h_i$	فاصله دو پره همزن (m)
$h_w$	فاصله همزن تا سطح مایع در بیوراکتور (m)
$h_b$	فاصله همزن تا مقطع بیوراکتور (m)
Li	طول پره همزن (m)
N	تعداد پره همزن